



RX32SD22 数据手册

文档编号：DS00003

基于 Arm®Cortex®-M0 内核的 32 位专业电机微控制器

版本：V2.3

特征

- 内核: Arm® Cortex®-M0 的内核, 最高频率 42 MHz
- 运行条件:
 - VDD, VDDA 电压范围: 2.5 V 至 5.5 V
- 电机专用协同处理器
 - 1 个 3 通道 PID
 - 1 个 SQRT
 - 1 个 SVPWM
 - 1 个 DIV
- 存储器
 - 32 KB Flash
 - 4 KB SRAM
 - Flash 擦写 10K 次@105°C
 - Flash 擦写 100K 次@85°C
- 复位和供电管理
 - 上电/下电复位 (POR/PDR)
 - 可编程电压监测器 (PVD)
 - 低功耗模式: 睡眠 (Sleep)
 - 低功耗模式: 待机 (Hold)
- 时钟管理
 - 内置经出厂调校的 42MHz 振荡器
 - 内置经出厂调校的 32KHz 振荡器
 - 40Mhz 晶体振荡器
- DMA 控制器
 - 2 个独立可配置通道
- 最多 22 个快速 I/O
 - 22 或者 20 个 I/O



TSSOP28 (9.7 × 4.4 mm)

TSSOP24 (7.8 × 4.4 mm)

- 1 个 1Msps 的 12 位 ADC
 - 15 通道的 ADC 输入
 - 电压转换输入范围: 0V 至 AVCC
- 运算放大器
 - 3 个可编程运算放大器 (PGA)
- 2 个轨对轨比较器
- 2 个通信接口
 - 1 个 I²C
 - 1 个 UART
- 开发支持
 - 串行线调试 (SWD)
- 7 个定时器
 - 1 个 16 位 5 通道电机高级控制定时器, 有 5 通道 PWM 输出, 带有死区时间生成和刹车功能
 - 1 个 24 位 SysTick 定时器
 - 4 个 16 位通用定时器
 - 1 个独立看门狗定时器
- 三组 PN 型半桥式栅极驱动器
 - 工作电压: 10V~28V
 - 内置 5V/40mA LDO
- CRC 计算单元, 96 位唯一 ID

目录

| | | |
|-------|------------------------|----|
| 1 | 简介 | 8 |
| 2 | 概述 | 9 |
| 3 | 功能概述 | 11 |
| 3.1 | Arm Cortex-M0 内核 | 11 |
| 3.2 | 电机专用协同处理器 | 11 |
| 3.3 | 内置 Flash | 11 |
| 3.4 | 内置 SRAM | 11 |
| 3.5 | 循环冗余校验计算单元 (CRC) | 11 |
| 3.6 | 电源管理 | 11 |
| 3.6.1 | 供电方案 | 11 |
| 3.6.2 | 上电复位 (POR) 和掉电复位 (PDR) | 11 |
| 3.6.3 | 低功耗模式 | 11 |
| 3.7 | 通用输入/输出(GPIOs) | 12 |
| 3.8 | 直接存储器访问控制器 (DMA) | 12 |
| 3.9 | 模数转换器(ADC) | 12 |
| 3.10 | PN 棚极驱动器(Gate Driver) | 12 |
| 4 | 引脚和引脚分布 | 13 |
| 4.1 | TSSOP28 引脚分布 | 13 |
| 4.2 | TSSOP24 引脚分布 | 13 |
| 4.3 | 复用功能 | 14 |
| 4.4 | 引脚定义 | 18 |
| 5 | 电气特性 | 20 |
| 5.1 | 测试条件 | 20 |
| 5.1.1 | 最小值和最大值 | 20 |
| 5.1.2 | 典型值 | 20 |
| 5.1.3 | 典型曲线 | 20 |
| 5.1.4 | 负载电容 | 20 |
| 5.1.5 | 引脚输入电压 | 20 |
| 5.1.6 | 供电方案 | 21 |
| 5.1.7 | 电流消耗测量 | 22 |
| 5.2 | 绝对最大额定值 | 22 |
| 5.3 | 工作条件 | 23 |
| 5.3.1 | 通用工作条件 | 23 |
| 5.3.2 | 上电和断电时操作条件 | 23 |
| 5.3.3 | 内置复位和电源控制模块特性 | 23 |
| 5.3.4 | 内部参考电压 | 24 |
| 5.3.5 | 供电电流特性 | 24 |
| 5.3.6 | 外部时钟源特性 | 25 |
| 5.3.7 | 内部时钟源特性 | 26 |
| 5.3.8 | 存储器特性 | 27 |
| 5.3.9 | EMC 特性 | 27 |



| | | |
|--------|-------------------|----|
| 5.3.10 | 电气敏感性..... | 27 |
| 5.3.11 | IO 端口特性..... | 28 |
| 5.3.12 | NRST 引脚特性..... | 29 |
| 5.3.13 | TIM 定时器特性..... | 29 |
| 5.3.14 | 通信接口..... | 30 |
| 5.3.15 | ADC 特性..... | 31 |
| 5.3.16 | PGA 特性..... | 32 |
| 5.3.17 | CMP 特性..... | 32 |
| 5.3.18 | VDD15..... | 33 |
| 6 | 栅极驱动器..... | 34 |
| 6.1 | 工作条件..... | 34 |
| 6.2 | 电气特性..... | 35 |
| 6.2.1 | 动态电气特性..... | 35 |
| 6.2.2 | 静态电气特性..... | 35 |
| 7 | 封装信息..... | 37 |
| 7.1 | TSSOP28 封装信息..... | 37 |
| 7.2 | TSSOP24 封装信息..... | 38 |
| 8 | 订货代码..... | 39 |
| 9 | 版本历史..... | 40 |

表目录

| | |
|---|----|
| 表 4.1 复用功能 (Port A) | 14 |
| 表 4.2 复用功能 (Port B) | 15 |
| 表 4.3 复用功能 (Port C) | 16 |
| 表 4.4 复用功能 (Port D) | 17 |
| 表 4.5 RX32SD22x6 引脚定义 | 18 |
| 表 5.1 电压特性 | 22 |
| 表 5.2 电流特性 | 22 |
| 表 5.3 温度特性 | 23 |
| 表 5.4 通用工作条件 | 23 |
| 表 5.5 上电和掉电时的工作条件 | 23 |
| 表 5.6 内置复位和电源控制块特性 | 23 |
| 表 5.7 内置的参照电压 | 24 |
| 表 5.8 待机模式下的最大电流消耗, 代码从内部 RAM 或 FLASH 运行 | 24 |
| 表 5.9 运行模式下的最大电流消耗, 数据处理代码从 FLASH 运行 | 25 |
| 表 5.10 睡眠模式下的典型和最大电流消耗 | 25 |
| 表 5.11 HSE 振荡器特性 | 25 |
| 表 5.12 高速内部振荡器 (HRC) 特性 ⁽¹⁾ | 26 |
| 表 5.13 低速内部振荡器 (LRC) 特性 ⁽¹⁾ | 26 |
| 表 5.14 低功耗模式的唤醒时间 | 26 |
| 表 5.15 FLASH 特性 | 27 |
| 表 5.16 EMS 特性 | 27 |
| 表 5.17 ESD 绝对最大值 | 27 |
| 表 5.18 电气敏感性 | 27 |
| 表 5.19 IO 静态特性 | 28 |
| 表 5.20 输出电压特性 | 28 |
| 表 5.21 IO 交流特性 | 28 |
| 表 5.22 NRST 引脚特性 | 29 |
| 表 5.23 TIMx 特性 | 29 |
| 表 5.24 I2C 接口特性 | 30 |
| 表 5.25 SCL 频率 ($f_{PCLK1} = 36MHz$, $V_{DD_I2C} = 3.3V/5V$) | 30 |
| 表 5.26 ADC 特性 | 31 |
| 表 5.27 $f_{ADC} = 14MHz$ 时的最大 R_{AIN} | 31 |
| 表 5.28 ADC 精度-限制测试条件 | 31 |
| 表 5.29 PGA 特性 | 32 |
| 表 5.30 CMP 特性 | 32 |
| 表 5.31 VDD15 特性 | 33 |
| 表 6.1 Gatedriver 绝对最大额定值 | 34 |
| 表 6.2 Gatedriver 推荐工作范围 | 34 |
| 表 6.3 Gatedriver 动态电气特性 | 35 |
| 表 6.4 Gatedriver 静态电气特性 | 35 |
| 表 6.5 驱动 NMOS 功率管 | 36 |

| | |
|--|----|
| 表 7.1 TSSOP-EP/28 of exposed die pad size..... | 37 |
| 表 7.2 TSSOP24 机械尺寸/mm..... | 38 |
| 表 9.1 版本历史..... | 40 |

图目录

| | |
|---------------------------------|----|
| 图 2.1 RX32SD22 架构图 | 10 |
| 图 4.1 RX32SD22 TSSOP28 引脚 | 13 |
| 图 4.2 RX32SD22 TSSOP24 引脚 | 13 |
| 图 5.1 引脚的负载情况 | 20 |
| 图 5.2 引脚输入电压 | 21 |
| 图 5.3 供电方案 | 21 |
| 图 5.4 电流功耗测量方案 | 22 |
| 图 6.1 时间切换波形图 | 35 |
| 图 7.1 TSSOP28 轮廓图 | 37 |
| 图 7.2 TSSOP24 轮廓图 | 38 |

1 简介

本数据手册提供 RX32SD22 的订购信息和固有特性。

本文档应与参考手册“RX32SD22_Reference_Manual”一起阅读。本数据手册和参考手册均可从睿兴官网 www.rxtek-icore.com 获得。

2 概述

RX32SD22 系列采用 Arm[®] Cortex[®]-M0 32 位 RISC 内核，最高运行频率为 42MHz。

Cortex-M0 内核支持所有 Arm 单精度数据处理指令和所有数据类型。

该系列内置高速存储器（32KB 的 Flash、4KB 的 SRAM），以及丰富的增强 I/O 引脚，连接到 1 条 APB 总线，1 条 AHB 总线。

该系列内置电机专用协同处理器，包括 1 个 3 通道 PID、1 个 SQRT、1 个 SVPWM、1 个 DIV。

该系列内置 1 个 ADC (1 Msps)，2 个比较器 (CMP)，3 个可编程运算放大器 (PGA)，1 个电机专用的 16 位高级定时器，4 个通用 16 位定时器，3 组 PN 型半桥式栅极驱动器。

该系列具有丰富通信接口：

- 1 个 I2C
- 1 个 UART

该系列可以在 -40 至 +105 °C 的温度范围内工作，供电电压 2.5 至 5.5 V。

RX32SD22 系列提供 28 引脚的 TSSOP28 封装和 24 引脚的 TSSOP24 封装。

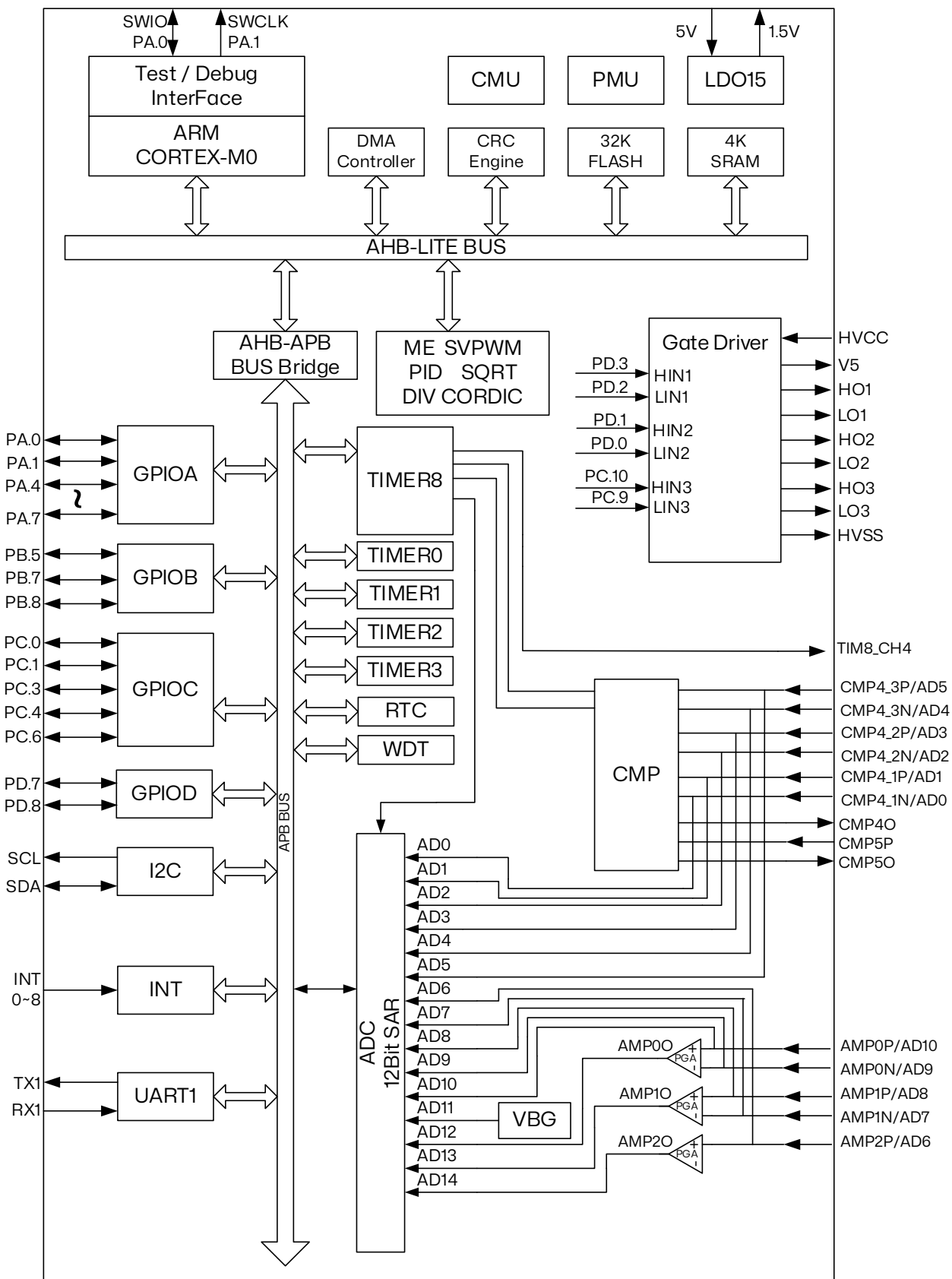


图 2.1 RX32SD22 架构图

3 功能概述

3.1 Arm® Cortex®-M0 内核

Arm® Cortex®-M0 是面向嵌入式应用的 Arm 32 位 RISC 处理器，它为实现 MCU 的某些需要提供了低成本的平台、缩减的引脚数目、降低的系统功耗，同时提供卓越的计算性能和先进的中断系统响应。

Arm® Cortex®-M0 是 32 位的 RISC 处理器，提供杰出的代码执行效率。

3.2 电机专用协同处理器

RX32SD22 提供一个电机专用协同处理器（ME），该处理器包含 FOC 运算所需的运算加速单元：

- Clarke: 将 3 轴向量转换成绝对坐标向量 (α - β)
- Park: 将绝对坐标向量转换成 d-q 轴向量
- RevPark: 将 d-q 轴向量反转回绝对坐标向量
- SVPWM: 将绝对坐标向量运算出 3 路 PWM 输出值
- PID: 比例积分微分运算加速器
- SQRT: 平方根运算加速器
- DIV: 除法运算加速器

3.3 内置 Flash

RX32SD22 内置 32KB 的嵌入式闪存，可用于存储程序和数据。

3.4 内置 SRAM

RX32SD22 内置 4KB 的 SRAM。这些 SRAM 可以以字节（8 位）、半字节（16 字节）或字（32 位）进行访问，这些存储器可以在没有等待周期的情况下由 CPU 或者 DMA 寻址。

3.5 循环冗余校验计算单元 (CRC)

CRC（循环冗余校验）计算单元使用具有多项式值和大小可配置的生成器得到 CRC 计算结果。在一些应用中，基于 CRC 的技术用于验证数据传输或存储的完整性。

3.6 电源管理

3.6.1 供电方案

RX32SD22 系列需要使用 2.5 V 至 5.5 V 的工作电压供电。

3.6.2 上电复位 (POR) 和掉电复位 (PDR)

RX32SD22 内部有完整的上电复位 (POR) 和掉电复位 (PDR) 电路。当供电电压到达 2 V 时系统即能正常工作。

当 V_{DD}/V_{DDA} 低于指定的限位电压 V_{POR}/V_{PDR} 时，系统保持为复位状态，而无需外部复位电路。关于上电复位和掉电复位的细节请参考数据手册的电气特性部分。

3.6.3 低功耗模式

RX32SD22 支持两种低功耗模式，用户可以在以下模式中进行选择：

- 睡眠模式：睡眠模式下，CPU 被停止且保持当前状态不执行任何操作，但仍维持着正常供电。当

用户需要在该模式下达到最低功耗时，可以自行关闭大功耗 LDO（默认打开）。在该模式下 CPU 可以被任意中断唤醒。

- 待机模式：待机模式下，CPU 被停止，LDO 关闭，外设停止运行。在该模式下 CPU 可以被中断或者事件唤醒。

注意：例程序 V1.5 低功耗模式对应此新版数据手册，旧版例程序 V1.4 及以前对应旧版数据手册。

3.7 通用输入/输出(GPIOs)

每个 GPIO 引脚都可以被软件配置为输出（推挽或开漏）、输入（上拉、下拉或浮空）或外设复用功能。大多数 GPIO 引脚既可以作数字复用，也可以作模拟复用功能。

3.8 直接存储器访问控制器 (DMA)

该系列内置 1 个 DMA (Direct memory access controller)。

直接内存访问 (DMA) 用于提供外设和内存之间以及内存与内存之间的高速数据传输。数据可以通过 DMA 快速移动，而不需要任何 CPU 操作。这样可以为其他操作保留空闲的 CPU 资源。

这一个 DMA 控制器总共有 2 个通道，每个通道专门用于管理来自一个或多个外设的内存访问请求。每个控制器都有一个仲裁器来处理 DMA 请求之间的优先级。

DMA 支持：

- 2 个独立可配置的通道（请求）
 - 每个通道连接到专用的硬件 DMA 请求，每个通道也支持软件触发。
- 来自一个 DMA 的通道的请求之间的优先级是软件可编程的（4 个级别：最高、高、中、低）。
- 独立的源和目标传输大小（字节、半字、字），模拟打包和解包。源/目标地址必须与数据大小对齐。
- 3 个事件标志（DMA 块传输，DMA 传输完成和 DMA 传输错误）在一个中断请求中。
- 内存到内存传输。
- 内存到外设、外设到内存和外设到外设传输。

3.9 模数转换器(ADC)

该系列内置 1 个模数转换器，具有以下特点：

- 12 位分辨率，内置校准。
- 1 Msps 的采样率。

3.10 PN 棚极驱动器(Gate Driver)

该系列内置 1 个 PN 型半桥棚极驱动器，具有以下特点：

- P/N MOS 三相半桥输出
- 电源电压范围：10V~28V
- 上桥 PMOS 和下桥 NMOS 独立输入
- 栅极输出 10V 到 PMOS (VCC > 14V)
- 兼容 3.3V, 5V 逻辑输入
- 内置 5V / 40mA LDO

4 引脚和引脚分布

4.1 TSSOP28 引脚分布

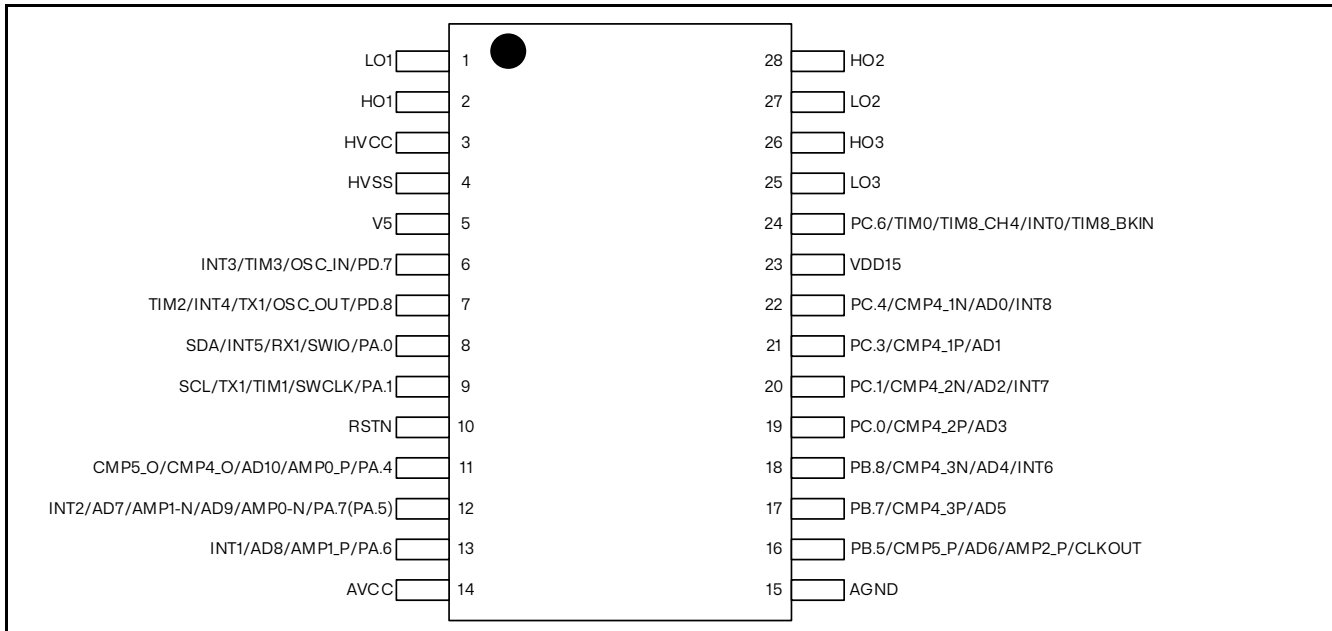


图 4.1 RX32SD22 TSSOP28 引脚

4.2 TSSOP24 引脚分布

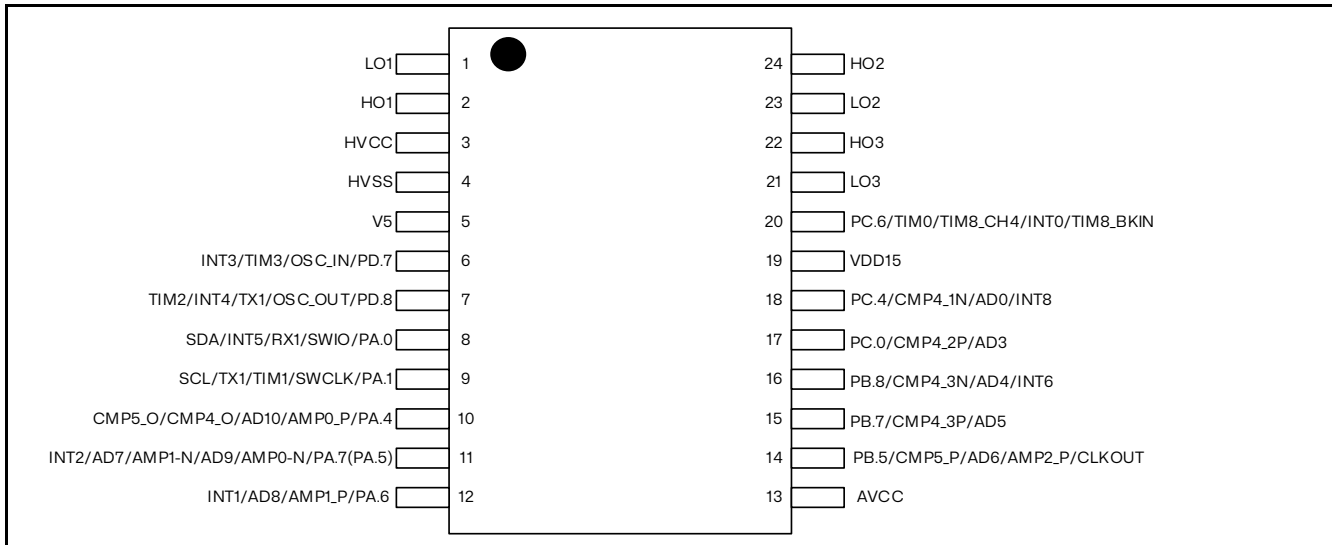


图 4.2 RX32SD22 TSSOP24 引脚

4.3 复用功能

表 4.1 复用功能 (Port A)

| Port | | AF1 | AF2 | AF3 | AF4 |
|--------|-----------------------------|--------------------------|------|----------|----------|
| Port A | PA0 | SWIO | RX1 | INT5 | SDA |
| | PA1 | SWCLK | TIM1 | TX1 | SCL |
| | PA4 | AMP0_P\AD10 | | CMP4_Out | CMP5_Out |
| | PA6 | AMP1_P\AD8 | | INT1 | |
| | PA7 (PA5) ⁽¹⁾ | AMP1_N\AD7 AMP0_N\AD9 | | INT2 | |

1. AMP0_N\AD9 为 PA.5 的第一复用功能, PA.5 与 PA.7 内部互连
 在使用 PA.7 引脚的 GPIO 功能时, 注意要先设定 PA.5 为高阻态, 才能不受影响
 在使用其它复用功能时, 可直接设定 PA.5 为高阻态
 当 AD9 和 AD7 同时使用时, 只能采样同一信号
 AMP0_N 和 AMP1_N 同时使用时, 放大器 N 端只能为同一信号
 上电时应为高阻态

表 4.2 复用功能 (Port B)

| Port | | AF1 | AF2 | AF3 | AF4 |
|--------|-----|-------------------|-----|------|----------|
| Port B | PB5 | CMP5_P\AD6\AMP2_P | | | ClockOut |
| | PB7 | CMP4_3P\AD5 | | | |
| | PB8 | CMP4_3N\AD4 | | INT6 | |

表 4.3 复用功能 (Port C)

| Port | | AF1 | AF2 | AF3 | AF4 |
|--------|---------------------|-------------|-----------|------|-----------|
| Port C | PC0 | CMP4_2P\AD3 | | | |
| | PC1 | CMP4_2N\AD2 | | INT7 | |
| | PC3 | CMP4_1P\AD1 | | | |
| | PC4 | CMP4_1N\AD0 | | INT8 | |
| | PC6 | TIM0 | TIM8_CH4 | INT0 | TIM8_BKIN |
| | PC9 ⁽¹⁾ | TIM8_CH3N | | | |
| | PC10 ⁽¹⁾ | TIM8_CH3 | TIM8_CH2N | | |

1. 该引脚已合封至栅极驱动器 (Gate Driver), 建议复用为 Timer 使用, 否则没有实际意义。

表 4.4 复用功能 (Port D)

| Port | | AF1 | AF2 | AF3 | AF4 |
|--------|--------------------|-----------|-----------|------|------|
| Port D | PD0 ⁽¹⁾ | TIM8_CH2N | TIM8_CH1N | | |
| | PD1 ⁽¹⁾ | TIM8_CH2 | TIM8_CH3 | | |
| | PD2 ⁽¹⁾ | TIM8_CH1N | TIM8_CH2 | | |
| | PD3 ⁽¹⁾ | TIM8_CH1 | | | |
| | PD7 | OSC_IN | TIM3 | INT3 | |
| | PD8 | OSC_OUT | TX1 | INT4 | TIM2 |

- 该引脚已合封至栅极驱动器 (Gate Driver), 建议复用为 Timer 使用, 否则没有实际意义。



4.4 引脚定义

表 4.5 RX32SD22x6 引脚定义

| 引脚编号 | | 引脚名称 (复位后的功能) ⁽¹⁾ | 引脚类型 ⁽²⁾ | 复用功能 |
|---------|---------|---------------------------------|---------------------|----------------------------------|
| TSSOP24 | TSSOP28 | | | |
| 1 | 1 | LO1 (PD2) ⁽³⁾ | I/O | TIM8_CH1N, TIM8_CH2 |
| 2 | 2 | HO1 (PD3) ⁽³⁾ | I/O | TIM8_CH1 |
| 3 | 3 | HVCC ⁽⁴⁾ | P | - |
| 4 | 4 | HVSS | G | - |
| 5 | 5 | V5 ⁽⁴⁾ | P | - |
| 6 | 6 | PD7- OSC_IN | I/O | OSC_IN, TIM3, INT3 |
| 7 | 7 | PD8- OSC_OUT | I/O | OSC_OUT, TX1, INT4, TIM2 |
| 8 | 8 | PA0 (SWIO) | I/O | SWIO, RX1, INT5, SDA |
| 9 | 9 | PA1 (SWCLK) | I/O | SWCLK, TIM1, TX1, SCL |
| - | 10 | RSTN | I | - |
| 10 | 11 | PA4 | I/O | AMP0_P\AD10, CMP4_Out, CMP4_Out |
| 11 | 12 | PA7 (PA5) ⁽⁵⁾ | I/O | AMP1_N\AD7, INT2 (AMP0_N\AD9) |
| 12 | 13 | PA6 | I/O | AMP1_P\AD8, INT1 |
| 13 | 14 | AVCC ⁽⁴⁾ | P | - |
| - | 15 | AGND | G | - |



| 引脚编号 | | 引脚名称 (复位后 的功能) ⁽¹⁾ | 引脚类型 ⁽²⁾ | 复用功能 |
|---------|---------|-------------------------------------|---------------------|---------------------------------|
| TSSOP24 | TSSOP28 | | | |
| 14 | 16 | PB5 | I/O | CMP5_P\AD6\AMP2_P, ClockOut |
| 15 | 17 | PB7 | I/O | CMP4_3P\AD5 |
| 16 | 18 | PB8 | I/O | CMP4_3N\AD4, INT6 |
| 17 | 19 | PC0 | I/O | CMP4_2P\AD3 |
| - | 20 | PC1 | I/O | CMP4_2N\AD2, INT7 |
| - | 21 | PC3 | I/O | CMP4_1P\AD1 |
| 18 | 22 | PC4 | I/O | CMP4_1N\AD0, INT8 |
| 19 | 23 | VDD15 | P | - |
| 20 | 24 | PC6 | I/O | TIM0, TIM8_CH4, INT0, TIM8_BKIN |
| 21 | 25 | LO3 (PC9) ⁽³⁾ | I/O | TIM8_CH3N |
| 22 | 26 | HO3 (PC10) ⁽³⁾ | I/O | TIM8_CH3, TIM8_CH2N |
| 23 | 27 | LO2 (PD0) ⁽³⁾ | I/O | TIM8_CH2N, TIM8_CH1N |
| 24 | 28 | HO2 (PD1) ⁽³⁾ | I/O | TIM8_CH2, TIM8_CH3 |

- 功能可用性取决于所选择的设备。
- I = 输入, O = 输出, P = 电源, G = 地。
- 引脚已合封至栅极驱动器 (Gate Driver)，建议复用为 Timer 使用，否则没有实际意义。
- TSSOP28 封装引脚 3 (HVCC) 在供电后，会经栅极驱动器 Gate Driver 内置的 5V/40mA 的 LDO 输出至引脚 5 (V5)，由于引脚 5 (V5) 内部和 AVCC 和 VCC 连接，单片机可直接工作而无需外部 LDO。而 TSSOP24 封装的引脚 5 (V5) 内部没有和 AVCC 和 VCC 连接，TSSOP24 封装需要额外布线连接引脚 5 (V5) 和 AVCC，或单独使用其他 LDO 给 AVCC 供电使单片机正常工作。
- AMPO_N\AD9 为 PA.5 的第一复用功能，PA.5 与 PA.7 内部互连
在使用 PA.7 引脚的 GPIO 功能时，注意要先设定 PA.5 为高阻态，才能不受影响
在使用其它复用功能时，可直接设定 PA.5 为高阻态
当 AD9 和 AD7 同时使用时，只能采样同一信号
AMPO_N 和 AMP1_N 同时使用时，放大器 N 端只能为同一信号
上电时应为高阻态

5 电气特性

5.1 测试条件

除非特别说明，所有电压均参考 V_{SS} 。

5.1.1 最小值和最大值

除非特别说明，在生产线上通过对 100% 的产品在环境温度 $T_A = 25^\circ\text{C}$ 下执行的测试，所有最小和最大值将在最坏的环境温度、供电电压和时钟频率条件下得到保证。

在每个表格下方的注解中说明为通过综合评估、设计模拟和/或工艺特性得到的数据，不会在生产线上进行测试；在综合评估的基础上，最小和最大数值是通过样本测试后，取其平均值再加减三倍的标准分布(平均 $\pm 3\sigma$)得到。

5.1.2 典型值

除非特别说明，典型数据以 $T_A = 25^\circ\text{C}$, $V_{DD} = V_{DDA} = 3.3\text{V}$ 为基础。这些数据仅用于设计指导而未经测试。

典型的 ADC 精度数值是通过对一个标准的批次采样，在所有温度范围下测试得到，95%产品的误差小于等于给出的数值(平均 $\pm 2\sigma$)。

5.1.3 典型曲线

除非特别说明，典型曲线仅用于设计指导而未经测试。

5.1.4 负载电容

用于引脚参数测量的负载情况如图 5.1 所示。

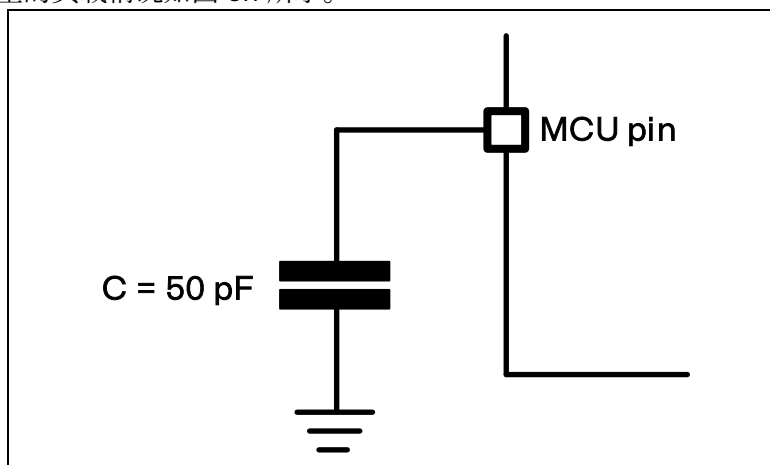


图 5.1 引脚的负载情况

5.1.5 引脚输入电压

图 5.2 描述了该器件的一个引脚上的输入电压测量。

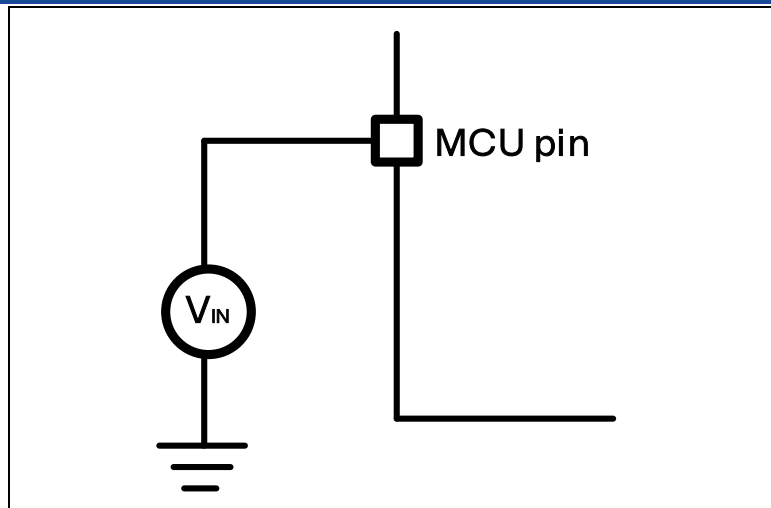


图 5.2 引脚输入电压

5.1.6 供电方案

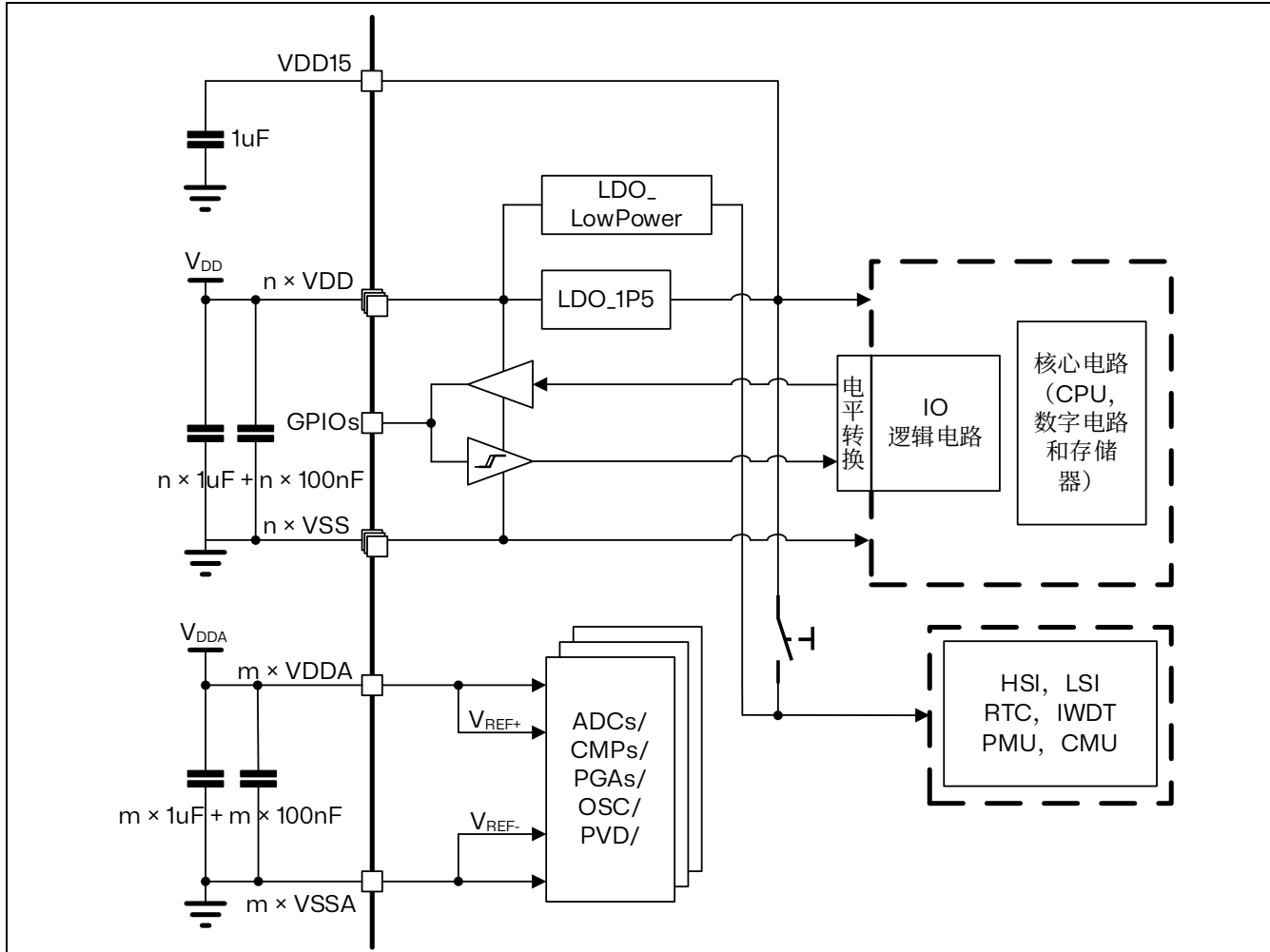


图 5.3 供电方案

注意：每个电源对（ V_{DD}/V_{SS} , V_{DDA}/V_{SSA} , V_{DD15} 等）必须采用如上所示的滤波陶瓷电容器去耦。这些电容器必须尽可能靠近对应引脚的PCB底部，以确保芯片的良好功能。

5.1.7 电流消耗测量

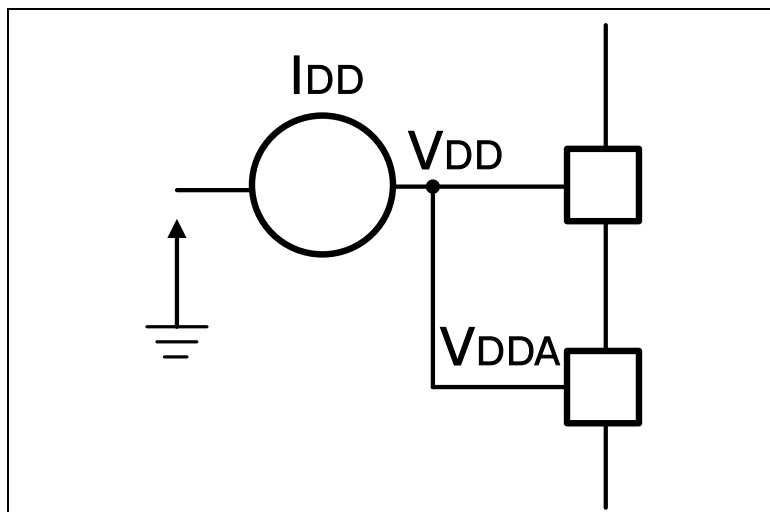


图 5.4 电流功耗测量方案

5.2 绝对最大额定值

加载在器件上的载荷如果超过本节“绝对最大额定值”中给出的值，可能会导致器件永久性地损坏。这里只是给出能承受的最大载荷，并不意味在此条件下器件的功能性操作无误。器件长期工作在最大值条件下会影响器件的可靠性。

表 5.1 电压特性

| 符号 | 描述 | 最小值 | 最大值 | 单位 |
|----------------------|--|------------------|--------------|----|
| $V_{DD} - V_{SS}$ | 外部主供电电压（包含 V_{DDA} 和 V_{DD} ） ⁽¹⁾ | -1 | 6.5 | V |
| $V_{IN}^{(2)}$ | 在其它引脚上的输入电压 | -0.1 V_{DD} | 1.1 V_{DD} | |
| $ \Delta V_{DDx} $ | 不同供电引脚之间的电压差 | - | 50 | mV |
| $ V_{SSx} - V_{SS} $ | 不同接地引脚之间的电压差 | - | 50 | |
| $V_{ESD(HBM)}$ | ESD 静电放电电压（人体模型） | 5 ⁽³⁾ | | KV |

- 所有的电源 (V_{DD} , V_{DDA}) 和地 (V_{SS} , V_{SSA}) 引脚必须始终连接到允许范围内的外部供电系统上。
- 必须保证 V_{IN} 不超过其最大值。最大允许注入电流值参考电流特性。
- 仅保证对 MCU 生效，不针对 GateDriver。

表 5.2 电流特性

| 符号 | 描述 | 条件 | 最大值 | 单位 |
|-----------|--|------------|-----|----|
| I_{VDD} | 经过 V_{DD}/V_{DDA} 电源线的总电流（供电电流） ⁽¹⁾ | $VCC=3.3V$ | 150 | mA |
| | | $VCC=5V$ | 150 | |
| I_{VSS} | 经过 V_{SS} 地线的总电流（流出电流） ⁽¹⁾ | $VCC=3.3V$ | 50 | mA |
| | | $VCC=5V$ | 50 | |
| I_{IO} | 任意 I/O 和控制引脚上的输出灌电流 | $VCC=3.3V$ | 15 | mA |
| | | $VCC=5V$ | 15 | |
| | 任意 I/O 和控制引脚上的输出电流 | $VCC=3.3V$ | 15 | |
| | | $VCC=5V$ | 15 | |

1. 所有的电源 (V_{DD} , V_{DDA}) 和地 (V_{SS} , V_{SSA}) 引脚必须始终连接到允许范围内的外部供电系统上。
2. 反向注入电流会干扰器件的模拟性能。
3. 这些 I/O 引脚不会有正向注入电流。当 $V_{IN} < V_{SS}$ 时, 有一个反向注入电流。 $I_{INJ(PIN)}$ 绝对不可以超过它的极限。最大输入电压值参考表 5.1 电压特性。
4. 当 $V_{IN} > V_{DD}$ 时, 有一个正向注入电流。
5. 当几个 I/O 口同时有注入电流时, $\Sigma I_{INJ(PIN)}$ 的最大值为正向注入电流与反向注入电流的即时绝对值之和。

表 5.3 温度特性

| 符号 | 描述 | 数值 | 单位 |
|-----------|--------|------------|----|
| T_{STG} | 储存温度范围 | -65 到 +150 | °C |
| T_J | 最大结温度 | 150 | °C |

5.3 工作条件

5.3.1 通用工作条件

表 5.4 通用工作条件

| 符号 | 参数 | 条件 | 最小值 | 最大值 | 单位 |
|-----------------|----------------------------------|-----------------------|-----|-----|-----|
| f_{HCLK} | 内部 AHB 时钟频率 | - | - | 42 | MHz |
| $V_{DD}^{(1)}$ | 标准工作电压 | - | 2.5 | 5.5 | V |
| $V_{DDA}^{(1)}$ | 模拟部分工作电压 (使用 ADC 或 PGA 或 CMP) | 必须与 $V_{DD}^{(1)}$ 相同 | 2.5 | 5.5 | |
| T_A | 环境温度 | 最大/低功率耗散 | -40 | 105 | °C |
| T_J | 结温度范围 | | -40 | 150 | |

1. 当使用 ADC 时, 参考 ADC 特性。
2. 建议使用相同的电源为 V_{DD} 和 V_{DDA} 供电, 在上电和正常操作期间, V_{DD} 和 V_{DDA} 之间最多允许有 300mV 的差别。
3. 如果 T_A 较低, 只要 T_J 不超过 T_{Jmax} , 则允许更高的 P_o 数值。

5.3.2 上电和断电时操作条件

下表中给出的参数是在一般的工作条件下测试得出。

表 5.5 上电和掉电时的工作条件

| 符号 | 参数 | 条件 ⁽¹⁾ | 最小值 | 最大值 | 单位 |
|-----------|---------------|-------------------|-----|----------|-----------|
| t_{VDD} | V_{DD} 上升速率 | VCC=5V | 0.8 | ∞ | $\mu s/V$ |
| | V_{DD} 下降速率 | | 20 | ∞ | |

1. 除非特别说明, $V_{DD} = 3.3V/5V$, $T_A = -40$ °C 到 125 °C。

5.3.3 内置复位和电源控制模块特性

下表中给出的参数是依据表 5.4 列出的环境温度下和 V_{DD} 供电电压下测试得出。

表 5.6 内置复位和电源控制块特性

| 符号 | 参数 | 条件 | 最小值 | 典型值 | 最大值 | 单位 |
|----------------------------|--------------------|----------------------------|------|------|------|----|
| V_{PVD} | 可编程的电压 检测器的电平选择 | $VCC_LVL[1:0] = 00$ (上升沿) | 2.29 | 2.32 | 2.33 | V |
| | | $VCC_LVL[1:0] = 00$ (下降沿) | 2.08 | 2.08 | 2.12 | |
| | | $VCC_LVL[1:0] = 01$ (上升沿) | 2.87 | 2.87 | 2.94 | |
| | | $VCC_LVL[1:0] = 01$ (下降沿) | 2.70 | 2.71 | 2.74 | |
| | | $VCC_LVL[1:0] = 10$ (上升沿) | 3.66 | 3.66 | 3.73 | |
| | | $VCC_LVL[1:0] = 10$ (下降沿) | 3.47 | 3.5 | 3.53 | |
| | | $VCC_LVL[1:0] = 11$ (上升沿) | 4.29 | 4.3 | 4.34 | |
| | | $VCC_LVL[1:0] = 11$ (下降沿) | 4.06 | 4.06 | 4.13 | |
| $V_{PV\text{D}hyst}^{(2)}$ | PVD 迟滞 | $VCC=5V$ | 160 | 240 | 240 | mV |
| $V_{POR/PDR}$ | 上电/掉电 复位阈值 | 上升沿 | 1.8 | 1.95 | 2.15 | V |
| | | 下降沿 | 1.65 | 1.8 | 1.98 | |
| $V_{PDR\text{hyst}}^{(2)}$ | PDR 迟滞 | - | - | 150 | - | mV |
| $T_{RSTTEMPO}^{(2)}$ | 复位持续时间 | $VCC=5V$ | 1.14 | 2 | 4.4 | ms |

1. 产品的特性由设计保证至最小的数值 $V_{POR/PDR}$ 。

2. 由设计保证。

5.3.4 内部参考电压

下表中给出的参数是依据表 5.4 列出的环境温度下和 VDD 供电电压下测试得出。

表 5.7 内置的参考电压

| 符号 | 参数 | 条件 | 最小值 | 典型值 | 最大值 | 单位 |
|------------------------|---------------------------|--|-------|-----|------|-------------------------|
| V_{REFINT} | 内部参考电压 | $-40^{\circ}\text{C} < T_A < +125^{\circ}\text{C}$, $V_{DD} = 3.3\text{V}/5\text{V}$ | 1.19 | 1.2 | 1.24 | V |
| $T_{S_vrefint}^{(1)}$ | 当读出内部参考电压 时, ADC 的采样时间 | $T_A=25^{\circ}\text{C}$, $3.3\text{V} \leq V_{DD} \leq 5\text{V}$ | 0.142 | - | 48.8 | us |
| $V_{REFINT}^{(2)}$ | 温度范围内的 内部参考电压分布 | $-40^{\circ}\text{C} < T_A < +125^{\circ}\text{C}$, $V_{DD} = 3.3\text{V}/5\text{V}$ | - | - | 15 | mV |
| $T_{COEFF}^{(2)}$ | 温度系数 | $-40^{\circ}\text{C} < T_A < +125^{\circ}\text{C}$ | - | - | 382 | ppm/ $^{\circ}\text{C}$ |

1. 最短的采样时间是通过应用中的多次循环得到。

2. 由设计保证。

5.3.5 供电电流特性

电流消耗是多种参数和因素的综合指标, 这些参数和因素包括工作电压、环境温度、I/O 引脚的负载、产品的软件配置、工作频率、I/O 脚的翻转速率、程序在存储器中的位置以及执行的代码等。

电流消耗的测量方法说明如图 5.4 所示。

表 5.8 待机模式下的最大电流消耗, 代码从内部 RAM 或 FLASH 运行

| 符号 | 参数 | 条件 | f_{HCLK} | 最小值 | 典型值 | 最大值 ⁽¹⁾ | | | 单位 |
|----------|----|--|------------|---------------------------|--------------------------|--------------------------|---------------------------|---------------------------|----|
| | | | | $T_A=-40^{\circ}\text{C}$ | $T_A=25^{\circ}\text{C}$ | $T_A=85^{\circ}\text{C}$ | $T_A=105^{\circ}\text{C}$ | $T_A=125^{\circ}\text{C}$ | |
| I_{DD} | 待机 | $-40^{\circ}\text{C} < T_A < +125^{\circ}\text{C}$, | 32KHz | 2 | 2.3 | 5.5 | 10.5 | 19.5 | uA |

| 符号 | 参数 | 条件 | f_{HCLK} | 最小值 | 典型值 | 最大值 ⁽¹⁾ | | | 单位 |
|-----------------|---------|---|------------|---------------------|--------------------|--------------------|---------------------|---------------------|----|
| | | | | $T_A = -40^\circ C$ | $T_A = 25^\circ C$ | $T_A = 85^\circ C$ | $T_A = 105^\circ C$ | $T_A = 125^\circ C$ | |
| I _{DD} | 模式下供电电流 | $V_{DD} = 3.3V$ | | | | | | | |
| | | -40 °C < T _A < +125 °C, $V_{DD} = 5V$ | 32KHz | 2.3 | 2.6 | 6.1 | 11 | 20.5 | |

1. 由综合评估保证。

表 5.9 运行模式下的最大电流消耗, 数据处理代码从 FLASH 运行

| 符号 | 参数 | 条件 | f_{HCLK} | 最大值 ⁽¹⁾ | | 单位 |
|-----------------|-----------|---|------------|---------------------|--|----|
| | | | | $T_A = 125^\circ C$ | | |
| I _{DD} | 运行模式下供电电流 | VCC=3.3V, 外部时钟 ⁽²⁾ , 全部外设使能 | 42MHz | 49.5 | | mA |
| | | VCC=3.3V, 外部时钟 ⁽²⁾ , 全部外设不使能 | 42MHz | 20 | | |
| | | VCC=5V, 外部时钟 ⁽²⁾ , 全部外设使能 | 42MHz | 52.5 | | |
| | | VCC=5V, 外部时钟 ⁽²⁾ , 全部外设不使能 | 42MHz | 24 | | |

1. 基于综合评估, 并在生产中测试。

表 5.10 睡眠模式下的典型和最大电流消耗

| 符号 | 参数 | 条件 | f_{HCLK} (LRC) | 最小值 | 典型值 ⁽¹⁾ | 最大值 | | | 单位 |
|-----------------|------------|---|---------------------|---------------------|--------------------|--------------------|---------------------|---------------------|----|
| | | | | $T_A = -40^\circ C$ | $T_A = 25^\circ C$ | $T_A = 85^\circ C$ | $T_A = 105^\circ C$ | $T_A = 125^\circ C$ | |
| I _{DD} | 睡眠模式下的供电电流 | -40 °C < T _A < +125 °C, 高速内部振荡器 HRC 开启, LDO 开启 | 32KHz | 142 | 155 | 175 | 191 | 225 | uA |
| | | V _{DD} = 3.3V V _{DD} = 5V | | 144 | 158 | 178 | 194 | 227 | |
| | 睡眠模式下的供电电流 | -40 °C < T _A < +125 °C, 高速内部振荡器 HRC 关闭, LDO 开启 | 32KHz | 21 | 28 | 47 | 62 | 93 | |
| | | V _{DD} = 3.3V V _{DD} = 5V | | 22 | 30 | 49 | 63 | 94 | |
| | 睡眠模式下的供电电流 | -40 °C < T _A < +125 °C, 高速内部振荡器 HRC 关闭, LDO 关闭 | 32KHz | 2.4 | 3 | 12 | 25 | 52 | |
| | | V _{DD} = 3.3V V _{DD} = 5V | | 2.7 | 3.5 | 12.7 | 26 | 53 | |

1. 在 T_A = 25°C 时测量典型值。

2. 由设计保证。

5.3.6 外部时钟源特性

表 5.11 HSE 振荡器特性

| 符号 | 参数 | 条件 | 最小值 | 典型值 | 最大值 | 单位 |
|----------------------|----------|----------------------------|------|------|------|------|
| f _{OSC_IN} | 振荡器频率 | - | | 8 | 40 | MHz |
| RF | 反馈电阻 | - | - | 300 | - | kΩ |
| C | 建议的负载电容 | - | 12 | - | 18 | pF |
| i ₂ | HSE 驱动电流 | V _{DD} =5V,40MHz | | 1.1 | | mA |
| gm | 振荡器的跨导 | 启动 | 3.56 | 5.84 | 7.39 | mA/V |
| t _{SU(HSE)} | 启动时间 | V _{DD} 是稳定的,40MHz | - | 1.4 | - | ms |

5.3.7 内部时钟源特性

表 5.12 高速内部振荡器 (HRC) 特性⁽¹⁾

| 符号 | 描述 | 条件 | | 最小值 | 典型值 | 最大值 | 单位 |
|-----------------------|-------------|----------------------------------|-----------------------------|------|-----|---------------|---------|
| f_{HRC} | 频率 | - | | - | 42 | - | MHz |
| Duty _(HRC) | 占空比 | - | | 45 | - | 55 | |
| ACC _{HRC} | HRC 振荡器的精度 | 用户可用 HRCADJ 寄存器调整 ⁽²⁾ | | - | - | $\pm 1^{(2)}$ | % |
| | | 工厂校准 ⁽⁴⁾ | $T_A = -40$ 到 $125^\circ C$ | -3.9 | - | 2.3 | |
| $t_{su(HRC)}^{(4)}$ | HRC 振荡器启动时间 | - | | | 10 | | μs |
| $I_{DD(HRC)}^{(4)}$ | HRC 振荡器功耗 | - | | | 91 | 120 | μA |

1. $V_{DD} = 3.3V$, $T_A = -40$ 到 $105^\circ C$, 除非特别说明。

2. 参考参考手册。

3. 由设计保证。

4. 由综合评估保证。

表 5.13 低速内部振荡器 (LRC) 特性⁽¹⁾

| 符号 | 描述 | 最小值 | 典型值 | 最大值 | 单位 |
|---------------------|-------------|-----|-----|-----|---------|
| $f_{LRC}^{(2)}$ | 频率 | 23 | 32 | 42 | kHz |
| $t_{su(LRC)}^{(3)}$ | LRC 振荡器启动时间 | | 70 | | μs |
| $I_{DD(LRC)}^{(3)}$ | LRC 振荡器功耗 | | 0.3 | | μA |

1. $V_{DD} = 3.3V$, $T_A = -40$ 到 $85^\circ C$, 除非特别说明。

2. 由综合评估保证。

3. 由设计保证。

从低功耗模式唤醒时间

下表的唤醒时间是在使用 HRC 作为时钟源的情况下进行测量的。实际应用中，芯片被唤醒后的时钟源与当前运行模式有关：

睡眠模式：时钟源保持与进入睡眠模式前一致。

待机模式：时钟源是 HRC。

表 5.14 低功耗模式的唤醒时间

| 符号 | 描述 | 条件 | 典型值 | 单位 |
|---------------------|------------------------|------------|-------|---------|
| $t_{WUHOLD}^{(1)}$ | 从待机模式唤醒, $F_{sys}=HRC$ | $VCC=3.3V$ | 2.08 | ms |
| | | $VCC=5V$ | 2.08 | |
| | 从待机模式唤醒, $F_{sys}=LRC$ | $VCC=3.3V$ | 11.55 | |
| | | $VCC=5V$ | 11.55 | |
| $t_{WUSLEEP}^{(1)}$ | 从睡眠模式唤醒, $F_{sys}=HRC$ | $VCC=3.3V$ | 2.2 | μs |
| | | $VCC=5V$ | 2.2 | |
| | 从睡眠模式唤醒, $F_{sys}=LRC$ | $VCC=3.3V$ | 2.18 | |
| | | $VCC=5V$ | 2.17 | |

1. 唤醒时间的测量是从唤醒事件开始至用户程序读取第一条指令。

5.3.8 存储器特性

表 5.15 FLASH 特性

| 符号 | 描述 | 条件 | 最小值 ⁽¹⁾ | 典型值 | 最大值 ⁽¹⁾ | 单位 |
|------------|------------------------|-------------|--------------------|------|--------------------|-------------|
| FlashSize | Flash 空间大小 | | - | 32 | - | kbytes |
| InfoSize | Information Block 空间大小 | | - | 2 | - | kbytes |
| RamSize | Ram 空间大小 | | - | 4 | - | kbytes |
| Tflashrd | Flash 字节读取时间 | | - | - | 40 | ns |
| Tflashwr | Flash 字节写时间 | | 20 | - | - | us |
| Tflashper | Flash 页擦除时间 | | 2 | - | - | ms |
| Tflashmer | Flash 全擦除时间 | | 10 | - | - | ms |
| FPageSize | Code Flash 页面大小 | | - | 1 | - | kbytes/page |
| InPageSize | Information Block 页面大小 | | - | 2 | - | kbytes/page |
| Tdat | 数据保持时间 | | 10 | - | - | years |
| Tmprun | 操作温度 | 擦写次数 = 100K | -40 | - | 85 | °C |
| | | 擦写次数 = 10K | -40 | - | 105 | °C |
| Vram | RAM 数据保持电压 | | - | 1.35 | - | V |

1. 由设计保证。

5.3.9 EMC 特性

表 5.16 EMS 特性

| 符号 | 描述 | 条件 | 最大绝对值 |
|------------|--|--|-------------|
| V_{FESD} | 施加到任意 I/O 脚，从而导致功能错误的电压极限。 | $V_{DD} = 5V, T_A = +25^\circ C, f_{HCLK} = 42MHz$ 。空气放电 | $\pm 4000V$ |
| V_{EFTB} | 在 V_{DD} 和 V_{SS} 上通过 100pF 的电容施加的、导致功能错误的瞬变脉冲群电压极限。 | $V_{DD} = 5V, T_A = +25^\circ C, f_{HCLK} = 42MHz$ 。符合 IEC 61000-4-2 | $\pm 2500V$ |

5.3.10 电气敏感性

表 5.17 ESD 绝对最大值

| 符号 | 描述 | 条件 | 最大值 | 单位 |
|----------------|----------------|---|------------|----|
| $V_{ESD(HBM)}$ | 静电放电电压（人体模型） | $T_A = +25^\circ C$, 符合 JEDEC EIA/ JESD22-A114 | ± 5000 | V |
| $V_{ESD(CDM)}$ | 静电放电电压（充电设备模型） | $T_A = +25^\circ C$, 符合 JEDEC JS-002-2018 | ± 1200 | |

表 5.18 电气敏感性

| 符号 | 描述 | 条件 | 最大值 | 单位 |
|----|-------|---|-----------|----|
| LU | 静态闩锁类 | $T_A = +125^\circ\text{C}$, 符合 JEDEC 78E | ± 200 | mA |

5.3.11 IO 端口特性

表 5.19 IO 静态特性

| 符号 | 描述 | 条件 | 最小值 | 典型值 | 最大值 | 单位 |
|-----------|--------------------------------------|------------------------|------------------------|-----|------------------------|------------------|
| V_{IL} | 标准 I/O 引脚, 输入低电平电压 | - | - | - | $0.13^*\text{VDD}+0.4$ | V |
| V_{IH} | 标准 I/O 引脚, 输入高电平电压 | - | $0.6^*\text{VDD}+0.13$ | - | - | |
| V_{hys} | 标准 I/O 施密特 触发器电压迟滞 ⁽¹⁾ | $V_{DD} = 3.3\text{V}$ | 1.1 | | 1.3 | V |
| | | $V_{DD} = 5\text{V}$ | 1.6 | | 1.9 | V |
| I_{lkg} | 输入漏电流 ⁽³⁾ | $V_{IN} = V_{DD}$ | - | - | ± 1 | μA |
| | | $V_{IN} = 0$ | - | - | ± 1 | |
| R_{PU} | 弱上拉等效电阻 ⁽⁴⁾ | $V_{DD} = 3.3\text{V}$ | 55 | 85 | 135 | $\text{k}\Omega$ |
| | | $V_{DD} = 5\text{V}$ | 33 | 48 | 75 | |
| R_{PD} | 弱下拉等效电阻 ⁽⁴⁾ | $V_{DD} = 3.3\text{V}$ | 30 | 50 | 95 | |
| | | $V_{DD} = 5\text{V}$ | 20 | 32 | 55 | |
| C_{IO} | IO 引脚的电容 | - | - | 7 | - | pF |

- 施密特触发器开关电平的迟滞电压。由综合评估得出，不在生产中测试。
- 至少 100mV。
- 如果在相邻引脚有反向电流倒灌，则漏电流可能高于最大值。
- 上拉和下拉电阻是设计为一个真正的电阻串联一个可开关的 PMOS/NMOS 实现。这个 PMOS/NMOS 开关的电阻很小(约占 10%)。

表 5.20 输出电压特性

| 符号 | 描述 | 条件 | 最小值 | 最大值 | 单位 |
|----------------|------------------------------------|---|------|------|----|
| $V_{OL}^{(1)}$ | 输出低电平, 当 1 个引脚同时吸收电流 | $V_{DD}=3.3\text{V}, I_{io}=8\text{mA}$ | - | 0.1 | V |
| | | $V_{DD}=5\text{V}, I_{io}=10\text{mA}$ | - | 0.3 | |
| $V_{OH}^{(2)}$ | 输出高电平, 当 1 个引脚同时输出电流 | $V_{DD}=3.3\text{V}, I_{io}=8\text{mA}$ | 2.67 | - | mA |
| | | $V_{DD}=5\text{V}, I_{io}=10\text{mA}$ | 4.5 | - | |
| I_{source} | 当 $V_{io}=0.9V_{DD}$ 时, IO 推挽输出高电平 | $V_{DD}=3.3\text{V}$ | 4.4 | 4.5 | |
| | | $V_{DD}=5\text{V}$ | 8.9 | 9.1 | |
| I_{sunk} | 当 $V_{io}=0.1V_{DD}$ 时, IO 推挽输出低电平 | $V_{DD}=3.3\text{V}$ | 6.9 | 7 | |
| | | $V_{DD}=5\text{V}$ | 13.8 | 13.9 | |

- 芯片吸收的电流 I_{io} 必须始终遵循电流特性表中给出的绝对最大额定值。
- 芯片输出的电流 I_{io} 必须始终遵循电流特性表中给出的绝对最大额定值，同时 I_{io} 的总和(所有 I/O 脚和控制脚)不能超过 I_{VDD} 。
- 由综合评估得出。

表 5.21 IO 交流特性

| 符号 | 描述 | 条件 | 最小值 | 最大值 | 单位 |
|------------------|------|---------------------------|-----|-----|-----|
| $f_{max(IO)out}$ | 最大频率 | 无负载, $V_{DD}=3.3\text{V}$ | - | 21 | MHz |
| | | 无负载, $V_{DD}=5\text{V}$ | - | 21 | |

| 符号 | 描述 | 条件 | 最小值 | 最大值 | 单位 |
|------------------------------|----------------------|---|-----|-----|----|
| | | $C_L = 10\text{pF}, V_{DD} = 3.3\text{V}$ | - | 20 | |
| | | $C_L = 10\text{pF}, V_{DD} = 5\text{V}$ | - | 21 | |
| $t_{f(\text{IO})\text{out}}$ | 输出高至低电平的下降时间 | $C_L = 10\text{pF}, V_{DD} = 3.3\text{V}$ | - | 12 | ns |
| | | $C_L = 10\text{pF}, V_{DD} = 5\text{V}$ | - | 9 | |
| $t_{r(\text{IO})\text{out}}$ | 输出低至高电平的上升时间 | $C_L = 10\text{pF}, V_{DD} = 3.3\text{V}$ | - | 11 | ns |
| | | $C_L = 10\text{pF}, V_{DD} = 5\text{V}$ | - | 9 | |
| $t_{\text{EXTI}\text{lpw}}$ | EXTI 控制器检测到外部信号的脉冲宽度 | VCC=3.3V, 打开滤波器 50ns | - | 50 | ns |
| | | VCC=3.3V, 打开滤波器 80ns | - | 80 | |
| | | VCC=5V, 打开滤波器 50ns | - | 50 | |
| | | VCC=5V, 打开滤波器 80ns | - | 80 | |

5.3.12 NRST 引脚特性

表 5.22 NRST 引脚特性

| 符号 | 描述 | 条件 | 最小值 | 典型值 | 最大值 | 单位 |
|-------------------------------|--------------------------------|----------------------|------|------|-----|------------------|
| $V_{IL(\text{NRST})^{(1)}}$ | NRST 输入低电平电压 | $V_{DD}=3.3\text{V}$ | - | - | 0.9 | V |
| | | $V_{DD}=5\text{V}$ | - | - | 1.2 | |
| $V_{IH(\text{NRST})^{(1)}}$ | NRST 输入高电平电压 | $V_{DD}=3.3\text{V}$ | 2.52 | - | 3.6 | V |
| | | $V_{DD}=5\text{V}$ | 3.91 | - | 5.5 | |
| $V_{\text{hys}(\text{NRST})}$ | NRST 施密特触发器电压迟滞 ⁽²⁾ | $V_{DD}=3.3\text{V}$ | - | 1.72 | - | |
| | | $V_{DD}=5\text{V}$ | - | 2.73 | - | |
| R_{PU} | 弱上拉等效电阻 | - | - | 10 | - | $\text{k}\Omega$ |
| $V_{F(\text{NRST})^{(1)}}$ | NRST 输入滤波脉冲 | $V_{DD}=3.3\text{V}$ | - | 1.8 | - | us |
| | | $V_{DD}=5\text{V}$ | - | 1.1 | - | |
| $V_{NF(\text{NRST})^{(1)}}$ | NRST 输入非滤波脉冲 | $V_{DD}=3.3\text{V}$ | - | 1.9 | - | |
| | | | - | 1.2 | - | |

1. 由设计保证。

2. 上拉电阻是设计为一个真正的电阻串联一个可开关的 PMOS 实现。这个 PMOS 开关的电阻很小（约占 10%）。

5.3.13 TIM 定时器特性

表 5.23 TIMx 特性

| 符号 | 描述 | 条件 | 最小值 | 最大值 | 单位 |
|------------------------------|----------------------|--------------------------------------|------|------------------------|----------------------|
| $t_{\text{res}(\text{TIM})}$ | 定时器分辨时间 | - | 1 | - | t_{TIMxCLK} |
| | | $f_{\text{TIMxCLK}} = 42 \text{MHz}$ | 23.8 | - | ns |
| f_{EXT} | CH1 至 CH4 的定时器外部时钟频率 | - | 0 | $f_{\text{TIMxCLK}}/2$ | MHz |
| | | $f_{\text{TIMxCLK}} = 42 \text{MHz}$ | 0 | 21 | MHz |
| Res_{TIM} | 定时器分辨率 | - | - | 16 | bit |
| t_{counter} | 当选择了内部时钟时， | - | 1 | 65536 | t_{TIMxCLK} |

| 符号 | 描述 | 条件 | 最小值 | 最大值 | 单位 |
|------------------|-------------|--------------------------------|--------|----------------------|---------------|
| | 16 位计数器时钟周期 | $f_{TIMxCLK} = 42 \text{ MHz}$ | 0.0238 | 1560 | μs |
| t_{MAX_COUNT} | 最大可能的计数 | - | - | 65536×65536 | $t_{TIMxCLK}$ |
| | | $f_{TIMxCLK} = 42 \text{ MHz}$ | - | 102.2 | s |

1. TIMx 是一个通用的名称，代表 TIM0~TIM3 和 TIM8。

5.3.14 通信接口

I2C 接口特性：

表 5.24 I2C 接口特性

| 符号 | 描述 | 最小值 | 最大值 | 单位 |
|--------------------------|----------------|-----|---------------------|---------------|
| $t_w(SCL)$ | SCL 低电平宽度 | 4.7 | - | μs |
| $t_w(SCLH)$ | SCL 高电平宽度 | 4 | - | |
| $t_{su}(SDA)$ | SDA 建立时间 | 250 | - | μs |
| $t_h(SDA)$ | SDA 数据保持时间 | - | 3450 ⁽²⁾ | |
| $t_r(SDA)$ $t_r(SCL)$ | SDA 和 SCL 上升时间 | - | 1000 | μs |
| $t_f(SDA)$ $t_f(SCL)$ | SDA 和 SCL 下降时间 | - | 300 | |
| $t_h(STA)$ | 起始条件保持时间 | 4 | - | μs |
| $t_{su}(STA)$ | 重复起始条件建立时间 | 4.7 | - | |
| $t_{su}(STO)$ | 停止条件建立时间 | 4 | - | μs |
| $t_w(STO:STA)$ | 停止到起始条件时间 | 4.7 | - | μs |
| C_b | 单条总线负载电容 | - | 400 | pF |

1. 标准 I2C 模式。

2. 必须保证在 SCL 高电平区间 SDA 保持稳定电平。

表 5.25 SCL 频率 ($f_{PCLK1} = 36\text{MHz}$, $V_{DD_{I2C}} = 3.3\text{V}/5\text{V}$)

| $f_{SCL}(\text{KHz})$ | I2CCON_CR[9:0]数值 |
|-----------------------|-----------------------------|
| | $R_P = 4.7 \text{ k}\Omega$ |
| 400 | 0x019 |
| 300 | 0x022 |
| 200 | 0x033 |
| 100 | 0x068 |
| 50 | 0x0d1 |
| 20 | 0x20c |

1. R_P = 外部上拉电阻, f_{SCL} = I2C 速度。

2. 对于 200 KHz 左右的速度, 所达到的速度的公差为±5%。对于其他速度范围, 速度公差为±2%。这个变量取决于应用设计时采用的外部组件的准确性。

5.3.15 ADC 特性

表 5.26 ADC 特性

| 符号 | 描述 | 条件 | 最小值 | 典型值 | 最大值 | 单位 |
|------------------|--------------------|-------------------------------|-------|-----------|------------|-------------|
| V_{DDA} | 供电电压 | - | 2.5 | - | 5.5 | V |
| V_{REF+} | 正参考电压 | - | - | V_{DDA} | - | V |
| f_{ADC} | ADC 时钟频率 | - | 0.5 | - | 14 | MHz |
| $f_s^{(2)}$ | 采样速率 | - | 0.036 | - | 1 | MHz |
| $f_{TRIG}^{(2)}$ | 外部触发频率 | $f_{ADC} = 14\text{MHz}$ | - | - | 700 | kHz |
| | | | - | - | 20 | $1/f_{ADC}$ |
| V_{AIN} | 转换电压范围 | - | 0 | - | V_{REF+} | V |
| R_{AIN} | 外部输入阻抗 | - | - | - | 50 | kΩ |
| $R_{ADC}^{(2)}$ | 采样开关电阻 | $V_{DD}=3.3\text{~}5\text{V}$ | 1 | - | 1.05 | kΩ |
| $C_{ADC}^{(2)}$ | 内部采样和保持电容 | - | - | 10 | - | pF |
| $t_{lat}^{(2)}$ | 常规触发转换时延 | $f_{ADC} = 14\text{MHz}$ | | | 0.143 | μs |
| | | - | | | 2 | $1/f_{ADC}$ |
| $t_s^{(2)}$ | 采样时间 | 一般通道 | 2 | - | 256 | $1/f_{ADC}$ |
| $t_{STAB}^{(2)}$ | 上电时间 | - | - | - | 1 | μs |
| $t_{CONV}^{(2)}$ | 总的转换时间 (包括采样时间) | - | - | - | 12 | μs |
| | | | | | | $1/f_{ADC}$ |

- 由综合评估得出，不在生产中测试。
- 由设计保证。
- 部分引脚封装中， V_{REF+} 在内部连接到 V_{DDA} ， V_{REF-} 在内部连接到 V_{SSA} 。
- 对于外部触发，必须在上表列出的时延中加上一个延迟 $1/f_{PCLK2}$ 。

 表 5.27 $f_{ADC} = 14\text{MHz}$ 时的最大 R_{AIN}

| T_s (周期) | t_s (μs) | 最大 R_{AIN} (kΩ) |
|------------|------------|-------------------|
| 2 | 0.142 | 0.4 |
| 4 | 0.284 | 0.75 |
| 8 | 0.568 | 1.6 |
| 16 | 1.136 | 3.1 |
| 32 | 2.272 | 6.5 |
| 64 | 4.544 | 13 |
| 128 | 9.088 | 25.5 |
| 256 | 18.175 | 50 |

表 5.28 ADC 精度-限制测试条件

| 符号 | 描述 | 条件 | 典型值 | 单位 |
|----|--------|---|-----|-----|
| ET | 综合偏差 | $F_{sys} = 42\text{MHz}$, $f_{ADC} = 14\text{MHz}$, $RAIN < 10\text{k}\Omega$, $V_{DDA} = 3.3\text{~}5\text{V}$, $T_A = 25^\circ\text{C}$, 测量是在 ADC 校准之后进行的。 | ±25 | LSB |
| EO | 偏移误差 | | 15 | |
| EG | 增益误差 | | 5 | |
| ED | 微分线性误差 | | ±2 | |

| 符号 | 描述 | 条件 | 典型值 | 单位 |
|----|--------|----|------|----|
| EL | 积分线性误差 | | ±5.5 | |

- ADC 的直流精度数值是在经过内部校准后测量的。
- ADC 精度与反向注入电流的关系：需要避免在任何标准的模拟输入引脚上注入反向电流，因为这样会显著地降低另一个模拟输入引脚上正在进行的转换精度。建议在可能产生反向注入电流的标准模拟引脚上，（引脚与地之间）增加一个肖特基二极管。
- 由设计保证。

5.3.16 PGA 特性

表 5.29 PGA 特性

| 符号 | 描述 | 条件 | 最小值 | 典型值 | 最大值 | 单位 |
|--------------------|----------|---------------------------|----------------------|-----|----------------------|-----|
| V _{DDA} | 供电电压 | - | 2.5 | 3.3 | 5.5 | V |
| CMIR | 共模输入范围 | - | 0 | - | V _{DDA} | V |
| R _{INDIF} | 差分输入阻抗 | - | 1 | - | 24.5 | KΩ |
| ICC | 工作电流 | 单位增益电路, VCC=3.3V | - | 470 | 720 | uA |
| | | 单位增益电路, VCC=5V | - | 610 | 930 | |
| V _{OLR} | 输出范围 | - | V _{SS} +0.2 | - | V _{DD} -0.2 | V |
| PGA gain error* | PGA 增益误差 | 输入阻抗为 0, 补偿值已经校正 | -4 | - | 2 | % |
| TST ⁽¹⁾ | 稳定时间 | 与最终值相差 1% (CLOAD=10pF) | 116 | 142 | 179 | ns |
| Av | 放大倍数 | - | - | 2 | - | V/V |
| | | | - | 4 | - | |
| | | | - | 8 | - | |

- 由设计保证。

5.3.17 CMP 特性

表 5.30 CMP 特性

| 符号 | 描述 | 条件 | 最小值 | 典型值 | 最大值 | 单位 |
|-------------------------------|--|-------|-----|-----|------------------|----|
| V _{DDA} | 模拟供电电压 | - | 2.5 | 3.3 | 5.5 | V |
| V _{IN} | 比较器输入电压范围 | - | 0 | - | V _{DDA} | |
| t _{START} | 达到传播延迟规范的 比较器启动时间 | - | - | - | 10 | us |
| t _D ⁽⁴⁾ | 响应时间: (V _{DD} = 3.3V; N 端电平为 1.65V; P 端电平 与 N 端 100mV 过冲) | 高速模式 | - | 100 | 170 | ns |
| | | 中速模式 | - | 175 | 216 | |
| | | 低速模式 | - | 320 | 308 | |
| | | 极低速模式 | - | 594 | 1050 | |

| 符号 | 描述 | 条件 | 最小值 | 典型值 | 最大值 | 单位 |
|--------------------|---------|----------------------------|------|-----|----------|----|
| $V_{offset}^{(3)}$ | 比较器偏移误差 | 全 V_{DDA} 电压范围, 全温度范围 | - | - | ± 10 | mV |
| V_{hys} | 比较器迟滞 | CR1_HYST=00 | - | 0 | - | mV |
| | | CR1_HYST=01 | 4.74 | 5 | 7.01 | |
| | | CR1_HYST=10 | 9.25 | 10 | 13.8 | |
| | | CR1_HYST=11 | 14.2 | 20 | 25.6 | |
| I_{CC} | 各档位工作电流 | $V_{DD}=3.3V$, 极低速率 | - | 26 | - | uA |
| | | $V_{DD}=3.3V$, 低速率 | - | 38 | - | |
| | | $V_{DD}=3.3V$, 中等速率 | - | 60 | - | |
| | | $V_{DD}=3.3V$, 高速率 | - | 100 | - | |

1. 由设计保证。
2. 参考表格内部参考电压。
3. 由综合评估得出。
4. 典型值是全部比较器传播延迟的平均值。

5.3.18 VDD15

表 5.31 VDD15 特性

| 符号 | 参数 | 测试条件 | 最小值 | 典型值 | 最大值 | 单位 |
|-----------------|------|---|------|------|------|------|
| V_{DD15} | - | $-40^{\circ}C < T_A < +125^{\circ}C, V_{DD}=3.3V$ | | 1.5 | | V |
| | | $-40^{\circ}C < T_A < +125^{\circ}C, V_{DD}=5V$ | | 1.5 | | |
| V_{DD} | 电源电压 | | 2 | 5 | 5.5 | V |
| I_{VDD} | 静态功耗 | PVT | 7.3 | 14 | 45 | uA |
| V_{OUT} | 输出电压 | | 1.47 | 1.5 | 1.52 | V |
| I_{OUT} | 驱动能力 | $V_{DD} > 2.4V$ | | | 40 | mA |
| | | $2V < V_{DD} < 2.4V$ | | | 20 | |
| C_{LOAD} | 负载电容 | | 0.47 | 0.47 | 4.7 | uF |
| Load regulation | | 负载 100nA 至 40mA | 0.26 | 865 | 1360 | mv/A |
| Line regulation | | | 11 | | 19 | mV |

6 棚极驱动器

6.1 工作条件

表 6.1 Gatedriver 绝对最大额定值

| 符号 | 描述 | 最小值 | 最大值 | 单位 |
|----------------|-------------|------|----------------|------|
| V_{vin} | 母线电压输入电压 | -0.3 | 28 | V |
| V_{LDO} | 5V LDO 输出电压 | -0.3 | 5.5 | |
| $V_{HIN1,2,3}$ | 高侧控制端输入电压 | -0.3 | 5.5 | |
| $V_{LIN1,2,3}$ | 低侧控制端输入电压 | -0.3 | 5.5 | |
| $V_{HO1,2,3}$ | 棚极驱动器上桥臂输出 | -0.3 | V_{vin} | |
| $V_{LO1,2,3}$ | 棚级驱动器下桥臂输出 | -0.3 | $V_{LIN1,2,3}$ | |
| PD | 功耗 | - | 0.5 | W |
| R_{thJA} | 热阻 | - | 125 | °C/W |
| TJ | 结温 | -40 | 150 | °C |
| TS | 存储温度 | -55 | 150 | |
| V_{ESD} | ESD | 2 | | KV |

表 6.2 Gatedriver 推荐工作范围

| 符号 | 描述 | 最小值 | 最大值 | 单位 |
|----------------|--------------|-----|-----------|-----|
| V_{vin} | 母线电压输入电压 | 10 | 28 | V |
| $V_{HIN1,2,3}$ | 高侧控制端输入电压 | 0 | 5 | V |
| $V_{LIN1,2,3}$ | 低侧控制端输入电压 | 0 | 5 | V |
| $V_{HO1,2,3}$ | 棚极驱动器上桥臂输出 | 6.5 | V_{vin} | V |
| $V_{LO1,2,3}$ | 棚级驱动器下桥臂输出 | 0 | 5 | V |
| F_{PWM} | PWM 转换频率 1nF | - | 50 | KHz |

6.2 电气特性

6.2.1 动态电气特性

栅极驱动器动态特性如下图。

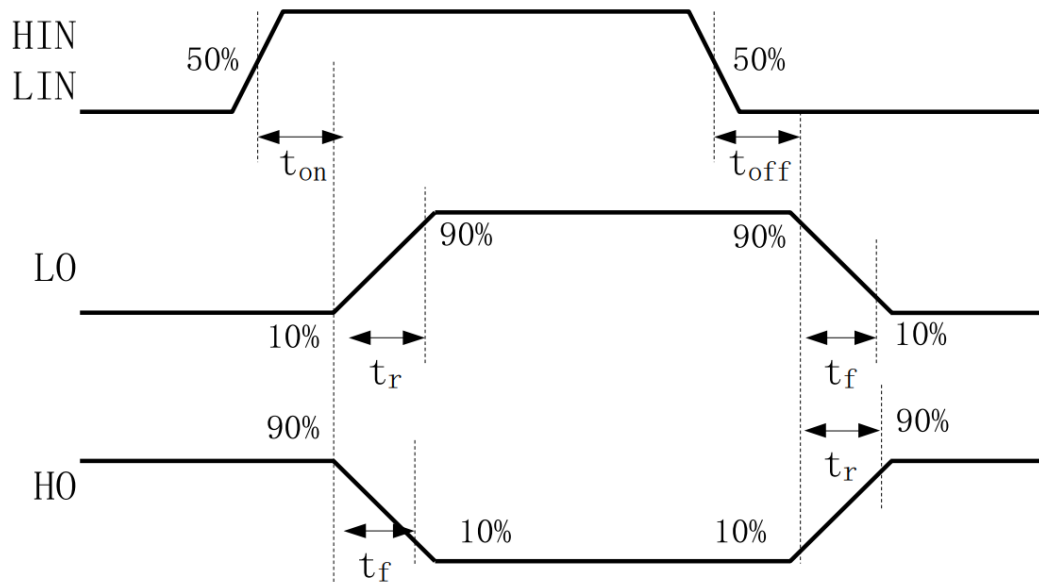


图 6.1 时间切换波形图

(VCC= 24V, CL = 1nF, TA= 25°C)

表 6.3 Gatedriver 动态电气特性

| 符号 | 描述 | 条件 | 最小值 | 典型值 | 最大值 | 单位 |
|------|---------|----|-----|-----|-----|----|
| TON | 导通延迟时间 | | - | 80 | 150 | ns |
| TOFF | 关断延迟时间 | | - | 80 | 150 | |
| THR | HO 上升时间 | | - | 100 | 500 | |
| THF | HO 下降时间 | | - | 150 | 500 | |

6.2.2 静态电气特性

(VCC= 24V, CL = 1nF, TA= 25°C)

表 6.4 Gatedriver 静态电气特性

| 符号 | 描述 | 条件 | 最小值 | 典型值 | 最大值 | 单位 |
|------|-----------|-----------------|----------|--------|---------|----|
| IQCC | VCC 静态电流 | HIN=LIN=0V | 0.3 | 0.5 | 1.0 | mA |
| VDD | VDD 输出电压 | | 4.3 | - | 5.5 | V |
| VIH | 逻辑“1”输入电压 | | 2.2 | - | - | V |
| VIL | 逻辑“0”输入电压 | | - | - | 0.6 | V |
| VHO | HO 输出电压 | HIN=5V | VCC-11.5 | VCC-10 | VCC-8.5 | V |
| | | 10V < VCC < 14V | 6.5 | | - | V |

(VCC= 24V, CL = 1nF, TA= 25°C)

表 6.5 驱动 NMOS 功率管

| 参数 | 最小值 | 典型值 | 最大值 | 单位 |
|------|-----|-----|-----|----|
| 输入电阻 | 40 | 50 | 60 | Ω |
| 下拉电阻 | 16 | 20 | 24 | KΩ |

7 封装信息

7.1 TSSOP28 封装信息

TSSOP28 是 28 引脚，9.7 * 4.4mm 的薄型长方扁平式封装。

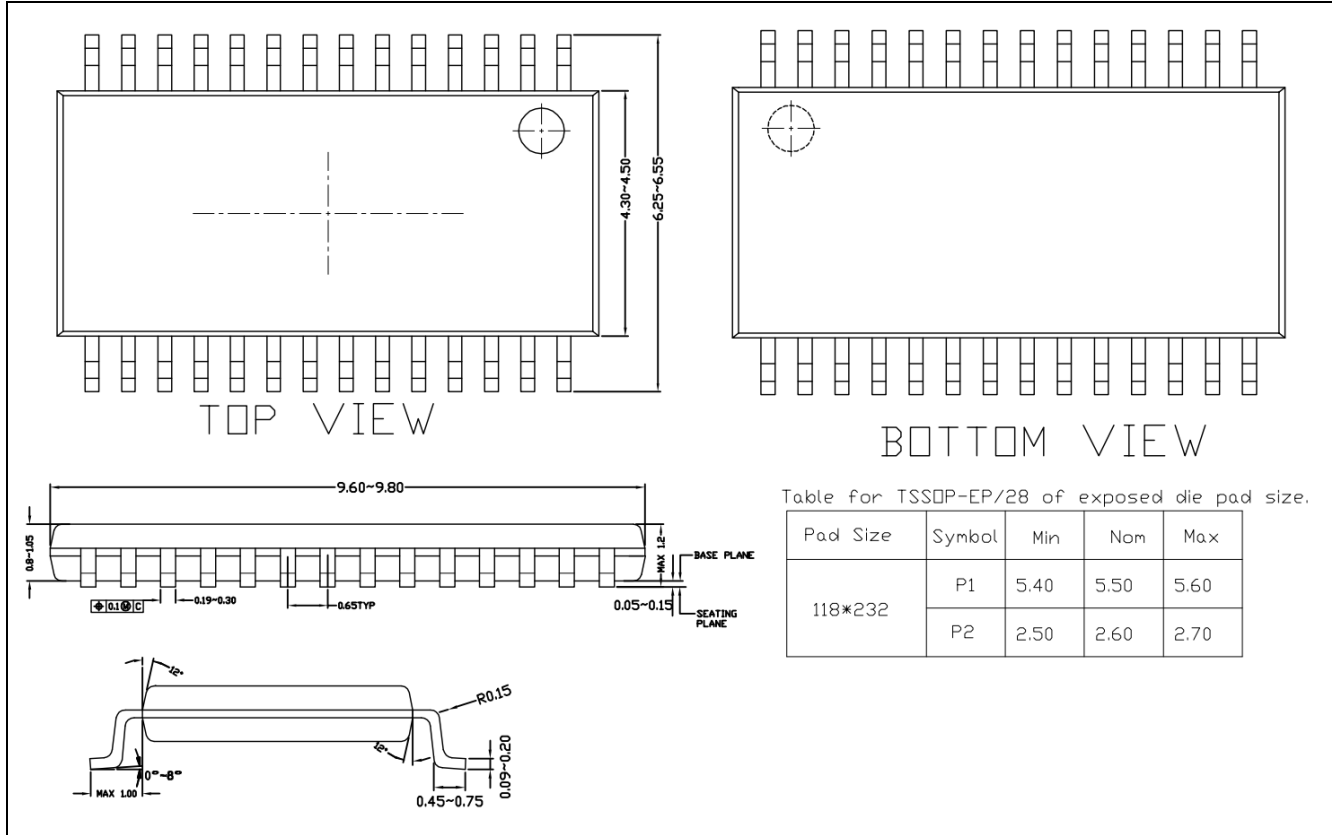


图 7.1 TSSOP28 轮廓图

表 7.1 TSSOP-EP/28 of exposed die pad size

| Pad Size | Symbol | Min | Nom | Max |
|----------|--------|------|------|------|
| 118*232 | P1 | 5.40 | 5.50 | 5.60 |
| | P2 | 2.50 | 2.60 | 2.70 |



7.2 TSSOP24 封装信息

TSSOP24 是 24 引脚, 7.8 * 4.4mm 的薄型长方扁平式封装。

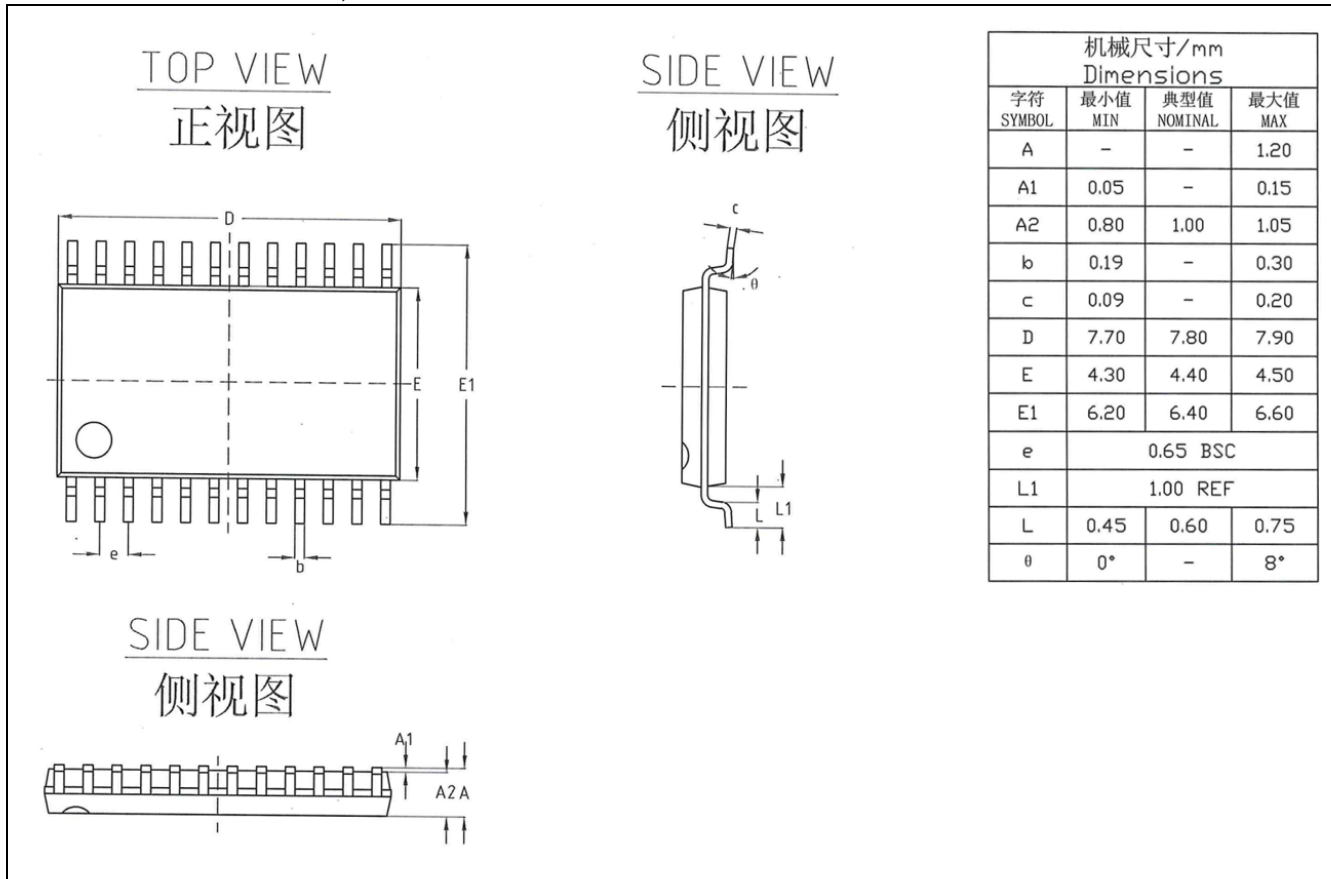


图 7.2 TSSOP24 轮廓图

表 7.2 TSSOP24 机械尺寸/mm

| 字符 Symbol | 最小值 Min | 典型值 Nom | 最大值 Max |
|--------------|------------|------------|------------|
| A | - | - | 1.20 |
| A1 | 0.05 | - | 0.15 |
| A2 | 0.80 | 1.00 | 1.05 |
| b | 0.19 | - | 0.30 |
| c | 0.09 | - | 0.20 |
| D | 7.70 | 7.80 | 7.90 |
| E | 4.30 | 4.40 | 4.50 |
| E1 | 6.20 | 6.40 | 6.60 |
| e | 0.65 BSC | | |
| L1 | 1.00 REF | | |
| L | 0.45 | 0.60 | 0.75 |
| θ | 0° | - | 8° |

8 订货代码

举例

RX32 SD 22 E 6 P 6

芯片系列

RX32 = 基于 ARM 内核的 32 位微控制器

芯片类型

SD = 电机专用+预驱

芯片亚科

22 = RX32SD22x6

引脚数

E = 28 pin

D = 24 pin

Flash

6 = 32 Kbyte

封装

P = TSSOP

温度范围

6 = -40 到 +85°C

9 版本历史

表 9.1 版本历史

| 日期 | 版本 | 更改内容 |
|-----------|------|--|
| 2023/8/7 | V2.0 | 1. 新版 |
| 2023/9/20 | V2.1 | 1. RX32SD22 架构图 ME 部分数据更新 2. HSI, LSI 概念统一 3. 供电方案框图更新 4. 订货代码芯片亚科名称更新 5. 新增了引脚定义表 |
| 2023/11/8 | V2.2 | 1. 完善了部分表格格式 2. 修正了表 5.18 中的笔误 3. HSI 修正为 HRC, LSI 修正为 LRC 4. 修正了复用功能表 5. 例程库 V1.5 低功耗模式对应此新版数据手册， 旧版例程库 V1.4 及以前对应旧版数据手册 |
| 2024/8/23 | V2.3 | 1. 增加 Flash 规格, 操作温度-40~105°C @10K 擦写次数 2. 修正芯片工作温度为-40~105°C 3. 修正芯片环境温度为-40~105°C 4. 修正芯片结温度范围为-40~150°C |